

سنتز نانوکامپوزیت‌های هیدروژل آکریل آمید و ایتاکونیک اسید با استفاده از خاکرس لایپونیت و مطالعه جذب رنگدانه بلور بنفس

مجله علوم و تکنولوژی پلیمر،
سال بیست و چهارم، شماره ۶،
صفحه ۵۰۵-۵۱۴
۱۳۹۰ ISSN: 1016-3255

غلام باقری مرندی*، مریم بهارلویی

کرج، دانشگاه آزاد اسلامی، واحد کرج، گروه شیمی

دریافت: ۹۰/۹/۲۸، پذیرش: ۹۰/۱۱/۲۶

چکیده

نانوکامپوزیت‌های هیدروژل شبکه‌ای شده با خاکرس از کوپلیمرشدن پیوندی آکریل آمید و ایتاکونیک اسید با استفاده از آغازگر آمونیم پرسولفات، کاتالیزور N,N',N'' -ترامتیل اتیلن‌دی‌آمین و مقادیر متفاوتی از خاکرس لایپونیت سنتز شدند. الگوی XRD نمونه‌های تهیه شده نشان می‌دهد، لایه‌های لایپونیت در نانوکامپوزیت‌ها کاملاً از یکدیگر فاصله گرفته و ساختار پراکنده‌ای از این لایه‌ها در ماتریس پلیمری ایجاد شده است. اثر مقدار لایپونیت بر تورم تعادلی و جذب رنگدانه کاتیونی بلوربنفس بدرسی و مشخص شد، با افزایش مقدار خاکرس در ساختار هیدروژل، تورم نمونه‌ها در آب قطره بیشتر می‌شود. در مطالعه جذب رنگدانه بلور بنفس به وسیله نانوکامپوزیت‌ها مشخص شد، با افزایش مقدار لایپونیت جذب و حذف بلور بنفس از محلول رنگ افزایش می‌یابد. همچنین، نمونه‌های سنتز شده قابلیت جذب بیشتری از بلور بنفس را در غلظت‌های بیشتر رنگدانه نشان می‌دهند. با توجه به نتایج به دست آمده می‌توان از این نانوکامپوزیت‌ها در حذف رنگدانه بلور بنفس از آب‌های آلوده استفاده کرد.

واژه‌های کلیدی

هیدروژل،
نانوکامپوزیت،
لایپونیت،
بلوربنفس،
جذب رنگدانه

* مسئول مکاتبات، پیام‌نگار:
marandi@kiau.ac.ir

مقدمه

است [۱۷]. با اضافه شدن در آب، لپوینیت ذرات قرصی شکلی را با ضخامت حدود ۱ nm و قطر حدود ۲۵ nm تشکیل می‌دهد که دارای بارهای منفی قوی در سطح و بارهای مثبت ضعیفی در لبه‌های خود هستند، به طوری که دافعه بین بارهای منفی سطح این قرص‌ها سبب پایداری پراکنش حاصل می‌شود [۱۸]. خواص لپوینیت سبب شده است تا نانوکامپوزیت‌های هیدروژل آن بر پایه مونومرهای سنتزی نظیر آکریل آمید و N,N-دی‌متیل آکریل آمید [۱۹]، N-ایزوپروپیل آمید [۲۰] و آکریلیک اسید [۲۱] تهیه و به ویژه خواص مکانیکی و گرمایی نانوکامپوزیت‌های حاصل مطالعه شود. این مطالعات مشخص کرده است، قرص‌های لپوینیت می‌توانند به عنوان شبکه‌ساز در تشکیل نانوکامپوزیت‌های هیدروژل استفاده شوند. آغازگر آلی جذب شده بر سطح قرص‌های لپوینیت در واکنش با گروه‌های Si-OH خاکرس سبب فعال‌سازی و واکنش این گروه‌ها با مونومرهای اطراف قرص‌های لپوینیت می‌شود. از واکنش مونومرهای با یک‌دیگر و تشکیل زنجیرهای پلیمری، امکان اتصال انتهای دیگر این زنجیرهای در حال رشد با قرص دیگری از لپوینیت به وجود می‌آید، در نتیجه امکان شبکه‌ای شدن پلیمر فراهم می‌شود. هم‌چنین بررسی‌های انجام شده مشخص می‌کند، تعداد اتصال‌های عرضی تشکیل شده به وسیله لپوینیت در شبکه نانوکامپوزیت‌های هیدروژل در مقایسه با شبکه‌سازهای آلی صدفاً برابر کمتر است [۲۲]. چگالی اتصال‌های عرضی کمتر در این مواد سبب افزایش انعطاف‌پذیری آنها و برخی خواص مکانیکی بهبود یافته در مقایسه با نانوکامپوزیت‌های هیدروژل تهیه شده با شبکه‌سازهای آلی می‌شود.

ماهیت دقیق برهم‌کنش‌های بین سطح خاکرس لپوینیت و گروه‌های عاملی آلی مثل گروه‌های آمید و کربوکسیل مشخص نشده است. با وجود این، برهم‌کنش‌های یونی و هیدروژنی از انواع برهم‌کنش‌هایی است که برخی پژوهشگران به آن اشاره کرده‌اند [۲۳]. اتم‌های اکسیژن سطح قرص‌های لپوینیت می‌توانند با هیدروژن‌های آمیدی و کربوکسیل پیوند هیدروژنی تشکیل دهند. هم‌چنین، اتم‌های فلزی خاکرس قابلیت تشکیل کمپلکس را با اتم‌های اکسیژن گروه‌های آمیدی و کربوکسیل دارند.

با وجود بار منفی در سطح لایه‌های سیلیکاتی این خاکرس، امکان برهم‌کنش‌های قوی گروه‌های کاتیونی با لایه‌های مزبور فراهم می‌شود. این قابلیت سبب شده است تا نانوکامپوزیت‌های هیدروژل حاصل از لپوینیت در حذف رنگدانه‌های کاتیونی آلی مثل بلوربنفس از محلول‌های آبی استفاده شوند [۱۶, ۲۳].

در این پژوهش، نانوکامپوزیت‌های هیدروژل با استفاده از مونومرهای آکریل آمید و ایتاکونیک اسید و مقادیر متفاوتی از خاکرس لپوینیت در

کامپوزیت‌های هیدروژل، موادی آب‌دوست با استحکام گرمایی و مکانیکی بهبود یافته نسبت به هیدروژل‌های معمولی اند. این ترکیبات اغلب علاوه بر مواد آلی تشکیل دهنده زنجیرهای پلیمری شبکه خود، شامل مواد افزودنی مثل انواع خاک‌های رس هستند. برای تشکیل ساختار شبکه‌ای در کامپوزیت‌های مزبور همانند سایر هیدروژل‌ها از شبکه‌سازهای آلی استفاده می‌شود [۴-۱]. در نانوکامپوزیت‌های حاصل از انواع خاک‌های رس، ماتریس پلیمر حاوی حداقل یک فاز نانومتری دو بعدی از لایه‌های خاک رس است. در گروهی از این نانوکامپوزیت‌ها برخلاف خاک رس اولیه، لایه‌های خاکرس کاملاً از یک‌دیگر جدا شده و در ماتریس پلیمر پخش می‌شوند [۵-۸]. یکنواختی و پیوستگی بیشتر از جمله نتایج ساختاری حاصل از تشکیل این نانوکامپوزیت‌هاست.

خواص عمومی هیدروژل‌ها شامل جذب مقادیر زیاد آب و محلول‌های آبی، قابلیت حفظ و رهایش آن [۹] به همراه خواص مکانیکی و گرمایی بهبود یافته، مدول زیاد و شفافیت در این نانوکامپوزیت‌ها سبب می‌شود تا در زمینه‌های متنوع از جمله کشاورزی، پزشکی و دارویی استفاده شوند. با توجه به تغییرات فیزیکی و شیمیایی حاصل از افزایش خاک‌های رس به شبکه پلیمری هیدروژل به نظر می‌رسد، کارکرد انواع خاک‌های رس در شبکه پلیمری بیش از اثر آنها فقط به عنوان یک پرکننده باشد.

قابلیت انواع خاک‌های رس برای جذب مواد مختلف منجر به افزایش کارایی نانوکامپوزیت‌های مزبور در زمینه‌هایی مثل جذب یون‌های فلزات سنگین [۱۰, ۱۱] و رنگدانه‌های سنتزی [۱۲-۱۶] از محلول‌های آبی شده است. رنگدانه‌های سنتزی استفاده شده در تهیه انواع رنگ‌ها از آلاینده‌های مهم زیستمحیطی هستند که از جمله در فاضلاب‌های خانگی و پساب‌های صنعتی یافت می‌شوند. این مواد بسیار سمی‌اند و زیست‌تخربی‌پذیری کمی دارند. انواع رنگدانه‌های کاتیونی محلول در آب از راه فرایندهای مصنوعی و طبیعی به منابع زیستمحیطی نظیر خاک‌های کشاورزی و سفره‌های آب زیزمینی نفوذ می‌کنند و باعث آلودگی آنها می‌شوند. به دلیل استفاده گسترده از رنگدانه‌های کاتیونی مثل بلوربنفس (CV) در فرایندهایی نظیر رنگ کردن کاغذ، رنگرزی پنبه و پشم و تولید رنگ مو حجم تولید و مصرف و بنابراین آلاینده‌گی حاصل از آنها بسیار زیاد است.

لپوینیت از انواع خاک‌های رس اصلاح شده است. از جمله مهم‌ترین خواص این خاکرس گرانوی کم حتی در مقادیر زیاد آن در محیط آبی، پایداری پراکنش حاصل و آسانی هم زدن آن

آب مقطر به مدت 48 h نگهداری شد. پس از این مدت، نمونه متورم به کیسه چای انتقال یافت. مقدار تورم نمونه بر اساس معادله (۱) اندازه‌گیری شد:

$$Q = \frac{(M_t - M_d)}{M_d} \quad (1)$$

M_t و M_d به ترتیب وزن هیدروژل خشک و متورم است.

اندازه‌گیری محتوای ژل هیدروژل‌ها

برای اندازه‌گیری محتوای ژل، قرصی از نمونه ($\sim 0.05\text{ g}$) در 250 mL آب یون زدوده به مدت 72 h متورم شد. سپس، نمونه از آب خارج و به مدت 24 h داخل 250 mL اتانول قرار گرفت. پس از این زمان، هیدروژل از اتانول خارج و برای خشک شدن کامل در گرمخانه با دمای 60°C به مدت 5 h قرار گرفت. محتوای ژل نمونه (gel content, GC) از معادله (۲) محاسبه شد:

$$GC = \left[\frac{m_f}{m_i} \right] \times 100 \quad (2)$$

در این معادله، m_f و m_i به ترتیب وزن هیدروژل خشک و اولیه است.

تهییه محلول رنگدانه بلوربنفش

محلول مادر با غلظت 100 mg/L از رنگدانه بلوربنفش تهییه و سپس با رقیق کردن حجم مشخصی از آن غلظت مورد نیاز ساخته شد.

تعیین مقدار جذب، درصد حذف و ضریب تقسیم رنگدانه

برای مطالعه جذب رنگدانه بلوربنفش به وسیله نانوکامپوزیت‌ها، قرصی با وزن معین از نانوکامپوزیت به محلول رنگ انتقال یافت. در طول فرایند جذب و در فواصل زمانی مشخص مقدار کمی از محلول برداشت و غلظت آن با دستگاه طیف نورسنج معین شد. مقدار رنگدانه بلوربنفش جذب شده (q_e) به وسیله نانوکامپوزیت‌ها به کمک معادله (۳) معین شد:

$$q_e = \left[\frac{(C_0 - C_t)}{m} \right] \times V \quad (3)$$

در این معادله، m وزن نانوکامپوزیت خشک بر حسب g ، V حجم محلول رنگ بر حسب mL ، C_0 غلظت اولیه محلول رنگ بر حسب mg/mL و C_t غلظت در زمان به دست آمده از دستگاه طیف نورسنج بر حسب mg/mL است.

کارایی برداشتن رنگ به وسیله جاذب با کمیت درصد حذف

نبود شبکه‌ساز آلی سنتز و قابلیت نمونه‌های حاصل برای جذب و حذف رنگدانه بلوربنفش از محلول‌های رنگی مربوط مطالعه شده است.

تجربی

مواد

آکریل آمید، ایتاکونیک اسید، آمونیوم پرسولفات، $\text{N}, \text{N}', \text{N}''$ -تراتیل اتیلن دی‌آمین (TEMED) و بلوربنفش (CV) از شرکت Merck و خاک رس لپوینیت RD شامل پلی‌یون‌های سیلیکاتی Southern Clay Products از $\text{Na}^{+}_{0.7}[(\text{Mg}_{5.5}\text{Li}_{0.3})\text{Si}_8\text{O}_{20}(\text{OH})_{4}]^{0.7}$ تهییه شد.

دستگاه‌ها

برای طیف‌سنجی زیرقرمز، دستگاه FTIR مدل Perkin Elmer Precisely-100، برای تعیین غلظت محلول‌های رنگ دستگاه طیف نورسنج (UV-Vis) مدل UVikom 92 و برای پراش پرتو X (XRD) Philips X'pert به کار گرفته شد.

روش‌ها

ستن نانوکامپوزیت‌های هیدروژل

آب مقطر، $1/74\text{ g}$ آکریل آمید و $0/26\text{ g}$ ایتاکونیک اسید به بالن دو دهانه 250 mL منتقل شد و بالن روی همزن مغناطیسی قرار گرفت. پس از گذشت زمان مناسب (حدود 15 min) مقادیر متفاوتی از خاک رس لپوینیت ($1/00$ ، $2/00$ و $3/00$ به محلول اضافه و برای پراکنش کامل خاک رس مدت 24 h به آن زمان داده شد. سپس، $0/05\text{ g}$ آمونیوم پرسولفات (در 3 mL آب مقطر) و پس از گذشت زمان کوتاهی (حدود 3 min) $24\text{ }\mu\text{L}$ کاتالیزور TEMED به ظرف واکنش اضافه شد. پس از 2 h در این شرایط نگهداری شد. سپس، مخلوط واکنش به لوله آزمایش منتقل شد و در گرمخانه با دمای 60°C برای تکمیل فرایند به مدت $10-14$ روز باقی ماند. طی این مدت پس از گذشت زمان مناسب، کامپوزیت حاصل به قطعات قرص مانند تقریباً یکسان برباده شد و تا تکمیل زمان مورد نیاز مجدداً به گرمخانه انتقال یافت.

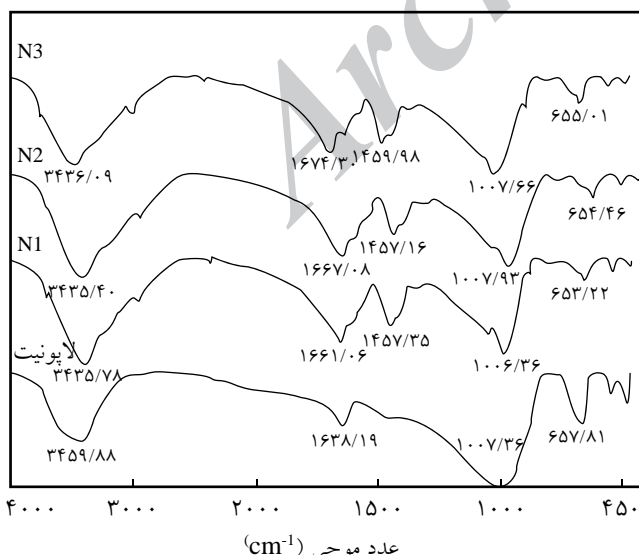
اندازه‌گیری مقدار جذب آب در نمونه‌ها

وزن مشخصی (یک قرص) از نانوکامپوزیت هیدروژل در 500 mL

در سطح قرص‌های لپوینیت انجام می‌شود و واکنش رادیکال‌های حاصل با مونومرهای اطراف قرص‌های مزبور سبب اتصال اولیه این مونومرها به سطح خاک رس می‌شود. با رشد زنجیرهای پلیمری شیوه‌های متفاوتی برای مرحله پایانی پلیمرشدن امکان‌پذیر است که از جمله آنها اتصال انتهای این زنجیرهای با قرص دیگری از لپوینیت است. پیوندهای فیزیکی و شیمیایی حاصل از گروه‌های آمیدی و کربوکسیل در زنجیرهای پلیمری با گروه‌های سطحی خاک امکان تشکیل ساختار شبکه‌ای را برای هیدروژل فراهم می‌کند.

شکل ۱ طیف‌های زیرقرمز خاک رس لپوینیت و نمونه‌های کامپوزیتی (N1، N2 و N3) به ترتیب شامل ۱/۰۰ و ۲/۰۰ g ۳/۰۰ لپوینیت را نشان می‌دهد. در طیف مربوط به لپوینیت پیک‌های موجود در ۳۴۶۰ و ۳۴۳۸ cm⁻¹ به ترتیب مربوط به ارتعاش کششی و خمشی گروه OH خاک رس است. در این طیف ارتعاش کششی و خمشی گروه Si-O به شکل پیک‌های قوی به ترتیب در ۱۰۰۷ و ۶۵۸ cm⁻¹ ظاهر شده‌اند. در طیف نانوکامپوزیت‌ها ارتعاش کششی گروه‌های کربونیل از کربوکسیل و کربوکسامید در نواحی ۱۶۶۱ تا ۱۶۷۴ cm⁻¹ ظاهر شده است.

ارتعاش کششی متقاضن گروه کربوکسیلات در زنجیرهای پلیمری را نیز می‌توان در نواحی ۱۴۵۷ تا ۱۴۶۰ cm⁻¹ مشاهده کرد. ارتعاش کششی گروه Si-O نمونه‌های کامپوزیتی با کاهش شدت نسبت به پیک متناظر در خاک رس در نواحی ۱۰۰۶ تا ۱۰۰۸ cm⁻¹ ظاهر شده است. همچنین، ارتعاش‌های خمشی این پیوند در طیف نانوکامپوزیت‌ها قابل ملاحظه‌ای را در شدت نسبت به پیک



شکل ۱ - طیف زیرقرمز لپوینیت و نانوکامپوزیت‌های N1، N2 و N3 به ترتیب شامل ۱/۰۰، ۲/۰۰ و ۳/۰۰ g (لپوینیت).

مشخص می‌شود. برای تعیین درصد حذف (RE%) این رنگ‌دانه از محلول رنگ به وسیله نمونه‌های سنتز شده از معادله (۴) استفاده شد:

$$\% \text{RE} = [(C_0 - C_t) / C_0] \times 100 \quad (4)$$

در این معادله C₀ غلظت اولیه محلول رنگ و C_t غلظت در زمان به دست آمده از دستگاه طیف نورسنج است. ضریب تقسیم (K_d) بیانگر مقدار توزیع رنگ بین جاذب و محلول است که با معادله (۵) معین شد:

$$K_d = (C_0 - C) / C \quad (5)$$

در این معادله، C₀ غلظت اولیه و C غلظت باقی‌مانده محلول رنگ است.

بررسی اثر مقدار خاک رس بر جذب رنگ‌دانه بلورینفس محلول‌هایی با غلظت L mg/L از رنگ‌دانه بلورینفس تهیه شد و جاذب‌ها با مقادیر مختلف لپوینیت در آن قرار گرفت. سپس، در زمان مشخص مقدار غلظت باقی‌مانده رنگ‌دانه با دستگاه طیف نورسنج اندازه‌گیری شد.

بررسی اثر غلظت رنگ‌دانه بلورینفس بر مقدار جذب محلول مادر با غلظت L mg/L از رنگ‌دانه بلورینفس ساخته شد. با رقیق کردن مقادیر مشخصی از آن محلول‌هایی با غلظت‌های ۱۰، ۳۰، ۶۰ و ۱۰۰ mg/L به دست آمد. پس از مدت زمان مشخص از قرار گرفتن جاذب در محلول رنگ، غلظت باقی‌مانده با دستگاه طیف نورسنج اندازه‌گیری شد.

نتایج و بحث

ساز و کار سنتز و شناسایی نانوکامپوزیت‌ها

در پلیمرشدن پیوندی برای سنتز نانوکامپوزیت‌ها ابتدا آغازگر پرسولفات‌ها با استفاده از کاتالیزور TEMED تبدیل به یون رادیکال سولفات‌های می‌شود. با حمله این رادیکال به مونومرهای آکریل آمید و ایتاکونیک اسید امکان تشکیل گونه‌های رادیکالی آلی از مونومرهای مزبور فراهم می‌شود و واکنش پلیمرشدن آنها در مجاورت خاک رس لپوینیت انجام می‌شود.

با توجه به مطالعات [۲۲] Haraguchi، شکست اولیه آغازگر

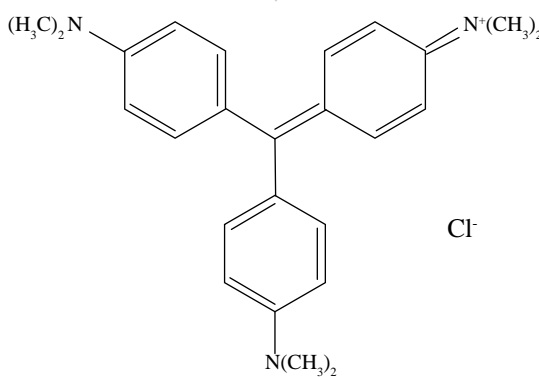
جدول ۱- مقدار تورم نانوکامپوزیت‌های N1، N2 و N3 در آب مقطر.

محتوای ژل (%)	مقدار جذب آب (g/g)	مقدار لپونیت (g)	نانوکامپوزیت
۵۲/۷۲	۴۷	۱/۰۰	N1
۷۸/۷۵	۸۷	۲/۰۰	N2
۸۸/۶۵	۱۲۹	۳/۰۰	N3

می‌شود. اگر چه با افزایش مقدار لپونیت در نانوکامپوزیت انتظار می‌رود، چگالی اتصال‌های عرضی در شبکه افزایش یابد و منجر به کاهش مقدار جذب آب در نمونه‌ها شود، اما به دلیل خصلت یونی و ظرفیت تبادل یونی لپونیت و وجود یون‌های سدیم آزاد در ژل حاصل، با افزایش خاک رس در این هیدروژل‌ها، اختلاف فشار اسمزی فاز ژلی نسبت به فاز آبی افزایش می‌یابد که عاملی برای افزایش مقدار جذب آب خواهد بود. این اثر دوگانه لپونیت در تورم نانوکامپوزیت‌ها توسط تعدادی از پژوهشگران گزارش شده است [۲۴]. هم‌جنبین با توجه به جدول ۱، با افزایش مقدار خاک رس در نانوکامپوزیت، محتوای ژل نمونه‌ها افزایش می‌یابد و مقادیر بیشتری از اجزای واکنش‌دهنده در شبکه نانوکامپوزیت درگیر می‌شوند. افزایش محتوای ژل با افزایش مقدار لپونیت عامل دیگری در روند مشاهده شده برای تورم تعادلی نمونه‌هاست. برای رسیدن نمونه‌ها به تورم تعادلی به زمان نسبتاً زیادی نیاز است که این سرعت کم تورم را می‌توان به حالت فیزیکی جاذب (قرص) نسبت داد که باعث کاهش سطح آن در ورود آب می‌شود.

جذب رنگ‌دانه بلورینش

طرح ۱ ساختار رنگ‌دانه بلورینش را نشان می‌دهد. این ترکیب دارای



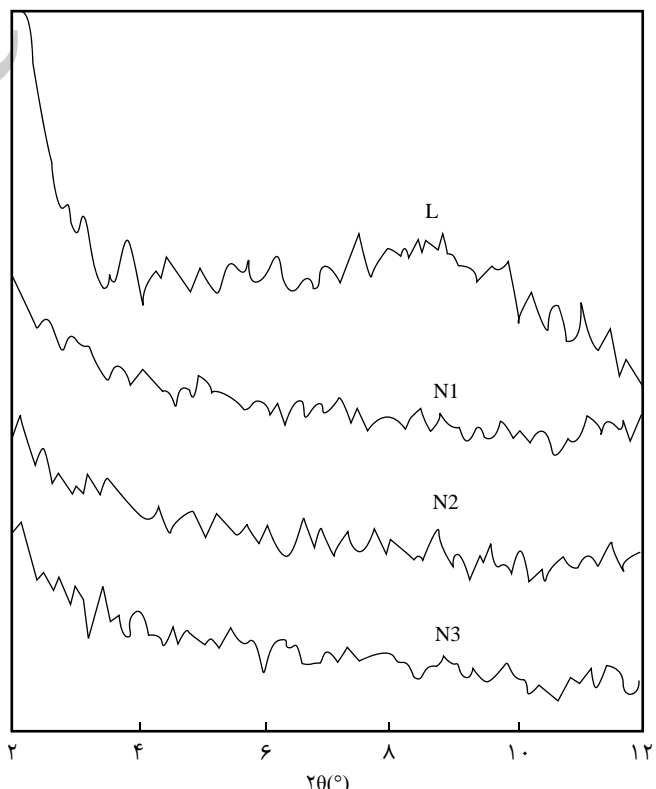
طرح ۱- ساختار رنگ‌دانه بلورینش.

منتاظر در طیف لپونیت نشان می‌دهد. با توجه به تغییرات مشاهده شده در ارتعاش‌های جذبی گروه OH و گروه Si-O لپونیت در طیف نانوکامپوزیت‌ها به نظر می‌رسد، برهم کنش‌های قوی بین زنجیرهای پلیمر و سطح خاک رس لپونیت حاصل شده باشد.

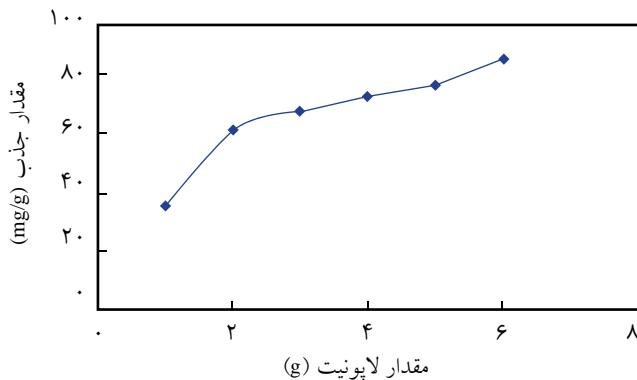
شکل ۲ الگوی پراش پرتو X مربوط به لپونیت و نانوکامپوزیت‌ها را مشخص می‌کند. در این شکل نمودار L مربوط به لپونیت است که پیک پهنی را در $2\theta = 8/5$ شامل می‌شود. طیف‌های N1، N2 و N3 در شکل ۲ الگوی XRD نانوکامپوزیت‌ها را مشخص می‌کند. هیچ پیکی در طیف این نمونه‌ها مشاهده نمی‌شود و این امر نشان‌دهنده قرارگیری زنجیرهای پلیمر بین لایه‌های خاک و فاصله گرفتن و پخش شدن این لایه‌ها در ماتریس پلیمر حتی در نمونه شامل مقدار زیاد (۳/۰۰ g) لپونیت است.

اثر مقدار لپونیت بر مقدار تورم

پس از قرارگیری قرصی با وزن معین از جاذب در آب مقطر برای ۴۸ h تورم تعادلی نمونه‌ها با استفاده از معادله (۱) معین شد. جدول ۱ اثر مقدار لپونیت در تورم نانوکامپوزیت‌ها را نشان می‌دهد. با توجه به این جدول، بیشینه جذب آب در مقدار ۳/۰۰ g از خاک حاصل



شکل ۲- الگوی XRD مربوط به لپونیت (L) و نانوکامپوزیت‌های N1، N2 و N3 به ترتیب شامل ۱/۰۰، ۲/۰۰ و ۳/۰۰ g لپونیت.

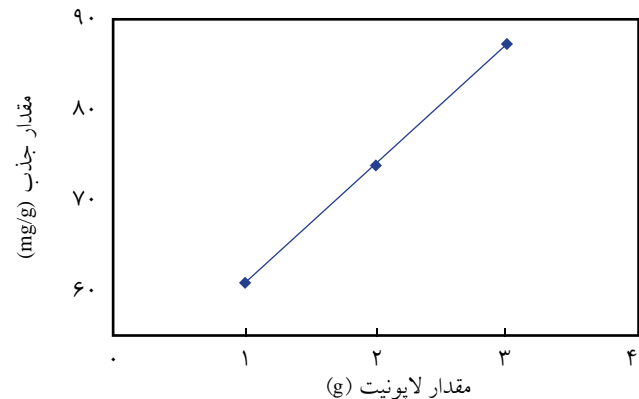


شکل ۵- نمودار سیستیک جذب رنگدانه بلور بنفس از نانوکامپوزیت N3

نمونه مقدار جذب افزایش می‌یابد. با زیاد شدن مقدار خاک رس در نانوکامپوزیت‌ها تعداد گروه‌های آئیونی حاصل از آن بیشتر می‌شود و امکان برهم‌کنش‌های یونی و تبادل یونی منجر به جذب رنگدانه افزایش می‌یابد.
برای مشخص کردن اثر زمان بر مقدار جذب، مقدار جذب در



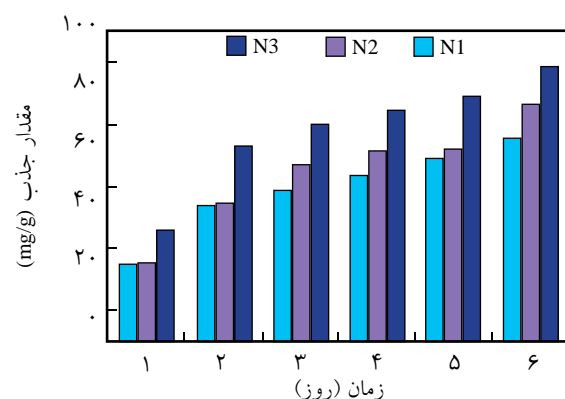
شکل ۶- تغییر رنگ محلول بلور بنفس با وجود جاذب N3 در طول ۱۵ روز.



شکل ۳- اثر مقدار خاک رس بر مقدار جذب رنگدانه بلور بنفس از نانوکامپوزیت‌های N1، N2 و N3

ساخтар آلی کاتیونی و شامل گروه یونی ایمینم و گروه‌های آمینی است. لایه‌های لپونیت دارای بار منفی عامل برهم‌کنش کننده قوی با کاتیون‌های رنگی اند که به ویژه از راه برهم‌کنش‌ها و تبادل یونی منجر به جذب رنگدانه در سطح لایه‌های خود می‌شوند. هم‌چنین، با توجه به وجود گروه کربوکسیل و کربوکسیلات در زنجیرهای پلیمری نانوکامپوزیت‌ها، برهم‌کنش‌های یونی، دوقطبی و هیدروژنی بین ساختار کاتیونی بلوربنفس و این گروه‌ها امکان پذیر خواهد بود که عاملی مضاعف در جذب رنگدانه است.

اثر مقدار خاک رس و زمان بر مقدار جذب رنگدانه
شکل ۳ اثر مقدار خاک رس بر مقدار جذب رنگدانه بلوربنفس نمونه‌ها را نشان می‌دهد. پس از قرارگرفتن نمونه‌های جاذب (بدون هم زدن) در محلول رنگ ۳۰ mg/L به مدت ۶ روز مقدار جذب (q_e) با استفاده از طیف نورسنج اندازه‌گیری شد. همان طور که این شکل نشان می‌دهد، با افزایش مقدار خاک رس در



شکل ۴- اثر زمان بر مقدار جذب رنگدانه بلور بنفس از نانوکامپوزیت‌های N1، N2 و N3

جدول ۳- اثر زمان بر ضریب تقسیم (Kd) رنگدانه بلور بنفسنجان برای نمونه‌های جاذب N1، N2 و N3

ضریب تقسیم (Kd)			زمان (روز)
N3	N2	N1	
۰/۴۵	۰/۳۲	۰/۳	۱
۱/۲۴	۰/۷۷	۰/۷۳	۲
۱/۵۹	۱/۲۵	۰/۸۷	۳
۱/۹۰	۱/۵۱	۱/۰۵	۴
۲/۲۶	۱/۰۵	۱/۳۲	۵
۳/۴۵	۳	۱/۶۹	۶

می‌دهد، پس از گذشت این مدت، محلول تقریباً بی‌رنگ شده و جاذب به رنگ بنفسنجان تیره در می‌آید.

مقادیر درصد حذف و ضریب تقسیم رنگدانه برای نمونه‌های جاذب در طول ۱ تا ۶ روز به ترتیب در جدول‌های ۲ و ۳ آمده است. با توجه به این جدول‌ها، پس از ۶ روز درصد حذف و ضریب تقسیم رنگدانه دارای بیشترین مقدار برای نانوکامپوزیت N3 است. هم‌چنین در روز دوم قرار گیری نمونه N3 در محلول رنگ، ۰.۵۵/۳۶ حذف صورت می‌گیرد که با توجه به درصد حذف مربوط به روز ششم مقدار قابل ملاحظه‌ای است.

با مقایسه ضریب تقسیم نمونه‌های N1، N2 و N3 در جدول ۳ می‌توان مقدار اثر لابونیت را بر وارد شدن رنگدانه به شبکه نانوکامپوزیت دریافت. با افزایش این خاکرس در نمونه‌ها قابلیت بیشتری در برهم‌کنش‌های جاذبه گروه‌های کاتیونی رنگدانه با بار منفی سطح خاکرس و در نتیجه خارج شدن بیشتر این رنگدانه از محلول حاصل می‌شود. با مقایسه مقدار جذب رنگدانه بلوربنفسنجان به وسیله نمونه‌های تهیه شده با نتایج سایر پژوهشگران (جدول ۴) به

جدول ۲- اثر زمان بر درصد حذف (%RE) رنگدانه بلور بنفسنجان به وسیله نمونه‌های جاذب N1، N2 و N3

درصد حذف (%RE)			زمان (روز)
N3	N2	N1	
۳۱/۴۶	۲۴/۶۶	۲۳/۵۶	۱
۵۵/۳۶	۴۳/۷۰	۴۲/۲۰	۲
۶۱/۴۳	۵۵/۶۶	۴۶/۷۳	۳
۶۵/۵۶	۶۰/۲۰	۵۱/۳	۴
۶۹/۳۳	۶۰/۶۰	۵۶/۹۳	۵
۷۷/۵۶	۷۵/۰۳	۶۲/۸۶	۶

فوایل زمانی از ۱ تا ۶ روز برای غلظت ۳۰ mg/L محلول رنگدانه اندازه‌گیری شد. در شکل ۴ نتایج حاصل نشان داده شده است. برای همه نانوکامپوزیت‌ها با افزایش زمان قرارگرفتن در محلول رنگ، جذب افزایش می‌یابد. درصد زیادی از مقدار کل جذب رنگدانه به وسیله نمونه‌ها در روز دوم حاصل می‌شود، به طوری که برای مثال در نانوکامپوزیت N3 این مقدار به حدود ۰.۷۱٪ کل جذب در پایان روز ششم می‌رسد. با توجه به شکل ۵ که نمودار سیستیک جذب رنگدانه را برای نمونه N3 نشان می‌دهد، سرعت جذب پس از روز دوم کاهش می‌یابد. با تشکیل کمپلکس‌های حاصل از برهم‌کنش سطح خاکرس و گروه‌های کربوکسیل و کربوکسیلات زنجیرهای پلیمری نانوکامپوزیت با کاتیون‌های N3، به تدریج ورود گروه‌های بزرگ کاتیونی این رنگدانه به داخل شبکه با تأخیر انجام می‌شود. برای مشخص کردن این موضوع که آیا نانوکامپوزیت مورد نظر در غلظت مزبور قابلیت جذب مقادیر بیشتری از رنگ محلول را دارد، نمونه N3 برای ۱۵ روز در این محلول نگه داری شد. همان‌طور که شکل ۶ نشان

جدول ۴- مقایسه نتایج سایر پژوهشگران با بررسی حاضر برای جذب رنگدانه بلوربنفسنجان.

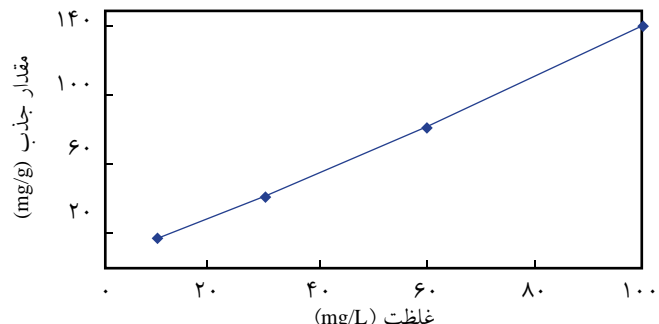
شرطه بھینه جذب	مقدار جذب (mg/g)	جاذب	مرجع
۳۰ ppm* پس از ۳ روز	۴۸	هیدروژل پلی‌اکریل آمید- لابونیت	[۲۳]
۴۰ ppm پس از ۲ h هم‌زدن	۳۵/۸	پلیمر سیکلودکسترین شبکه‌ای شده	[۲۵]
۴۰ ppm پس از ۳۰ min هم‌زدن	۳۳	کائولن	[۲۶]
۴۰ ppm پس از ۴ روز	۴۶	هیدروژل پلی‌اکریل آمید - لابونیت	[۱۶]
۵۰ ppm پس از ۳ روز	۲۸/۶	هیدروژل پلی‌(اکریل آمید-اکریلیک اسید-متاکریلات)-آمیلوز	[۲۷]
۳۰ ppm پس از ۳ روز	۷۴/۲	هیدروژل پلی‌(اکریل آمید-ایتاکونیک اسید)-لابونیت	
		کار حاضر	

* غلظت اولیه رنگدانه

می‌توان انتظار داشت، نمونه جاذب سترنز شده ظرفیت زیادی برای جذب رنگ دانه داشته باشد.

نتیجه‌گیری

نانوکامپوزیت‌های هیدروژلی از پلیمرشدن پیوندی آکریل آمید و ترکیب دو عاملی ایتاکونیک اسید در مقادیر متفاوتی از خاک رس لاپونیت و بدون استفاده از شبکه‌ساز آلی تهیه شدند. در تشکیل این مواد، لاپونیت به عنوان یک شبکه‌ساز عمل می‌کند. با افزایش مقدار لاپونیت در نانوکامپوزیت‌ها مقدار تورم تعادلی در آب مقطر افزایش می‌یابد که به ویژه ناشی از افزايش اختلاف فشار اسمزی فاز ژل و آبی است. مطالعه قابلیت نانوکامپوزیت‌های حاصل برای جذب رنگ دانه بلور بنفس مشخص کرد که از بین نمونه‌های تهیه شده نانوکامپوزیتی با بیشترین مقدار خاک رس (3/00 g) قابلیت بیشتری را برای جذب و حذف این رنگ دانه از محلول آبی دارد، به طوری که پس از ۶ روز این نمونه مقدار ۷۷/۵۶٪ از رنگ دانه را در محلول حذف کرده است. عامل اصلی جذب رنگ به وسیله این نانوکامپوزیت‌ها مربوط به برهم‌کنش‌های لایه‌های آئیونی لاپونیت با گروه‌های کاتیونی رنگ دانه به ویژه از راه تبادل یونی و الکتروستاتیکی است. با توجه به امکان سترنز این نانوکامپوزیت‌ها که دارای مقدار زیادی خاک رس هستند و قابلیت آنها در جذب محلول رنگ به نظر می‌رسد، این ترکیبات موادی مناسب به لحاظ اقتصادی و کارآمدی در حذف رنگ دانه بلور بنفس از پساب‌های آلوده به این رنگ باشند.



شکل ۷- نمودار اثر غذلعت رنگ دانه بلوربنفس از مقدار جذب آن به وسیله نانوکامپوزیت N3.

نظر می‌رسد، این نمونه‌ها قابلیت مناسبی برای حذف این رنگ دانه از محیط‌های آبی آلوده را داشته باشند.

اثر غذلعت رنگ دانه بر مقدار جذب

برای مطالعه اثر غذلعت رنگ دانه بر مقدار جذب آن به وسیله جاذب، محلول‌های با غذلعت ۱۰، ۳۰، ۶۰ و ۱۰۰ mg/L از رنگ دانه تهیه و مقدار معینی از نمونه N3 در آنها قرار گرفت. نتایج حاصل در شکل ۷ مشاهده می‌شود. با افزایش غذلعت رنگ دانه در محلول تعداد گروه‌های کاتیونی در دسترس برای برهم‌کنش با لایه‌های آئیونی لاپونیت و گروه‌های کربوکسیل و کربوکسیلات زنجیرهای پلیمری موجود در ساختار نانوکامپوزیت افزایش می‌یابد و در نتیجه مقدار جذب نیز بیشتر می‌شود. با توجه به شبیه خط حاصل در این شکل به نظر می‌رسد، افزایش غذلعت رنگ دانه با روند تقریباً ثابتی منجر به افزایش جذب آن به وسیله جاذب می‌شود. بنابراین

مراجع

- Kabiri K. and Zohuriaan-Mehr M.J., Porous Superabsorbent Hydrogel Composites: Synthesis, Morphology and Swelling Rate, *Macromol. Mater. Eng.*, **289**, 653-661, 2004.
- Li A. and Wang A., Synthesis and Properties of Clay-Based Superabsorbent Composite, *Eur. Polym. J.*, **41**, 1630-1637, 2005.
- Bagheri Marandi G. and Hosseinzadeh H., Gelatin-g-Poly(sodium acrylate-co-acrylamide)/Kaolin Superabsorbent Hydrogel Composites: Synthesis, Characterization and Swelling Behaviour, *Polym. Polym. Compos.*, **15**, 395-402, 2007.
- Xie Y. and Wang A., Study on Superabsorbent Composites XIX. Synthesis, Characterization and Performance of Chitosan-g-
- Poly(acrylic acid)/Vermiculite Superabsorbent Composites, *J. Polym. Res.*, **16**, 143-150, 2009.
- Lee W.F., and Yang L.G., Superabsorbent Polymeric Materials. XII. Effect of Montmorillonite on Water Absorbency for Poly(sodium acrylate) and Montmorillonite Nanocomposite Superabsorbents, *J. Appl. Polym. Sci.*, **92**, 3422-3429, 2004.
- Liu Y., Zhu M., Liu X., Zhang W., Sun B., Chen Y., and Adler H.J.P., High Clay Content Nanocomposite Hydrogels with Surprising Mechanical Strength and Interesting Deswelling Kinetics, *Polymer*, **47**, 1-5, 2006.
- Mahdavinia G.R., Bagheri Marandi G., Pourjavadi A., and Kiani

- G., Semi-IPN Carrageenan-Based Nanocomposite Hydrogels: Synthesis and Swelling Behavior, *J. Appl. Polym. Sci.*, **118**, 2989-2997, 2010.
8. Bagheri Marandi G., Mahdavinia G.R., and Ghafary S., Collagen-g-Poly(sodium acrylate-co-acrylamide)/Sodium Montmorillonite Superabsorbent Nanocomposites: Synthesis and Swelling Behavior, *J. Polym. Res.*, **18**, 1487-1499, 2011.
 9. Zohuriaan-Mehr M.J. and Kabiri K., Superabsorbent Polymer Materials: A Review, *Iran. Polym. J.*, **17**, 451-477, 2008.
 10. Hassine K., Durmus A., and Kasgoz A., Enhanced Swelling and Adsorption Properties of AAm-AMPSNa/Clay Hydrogel Nanocomposites for Heavy Metal Ion Removal, *Polym. Adv. Technol.*, **19**, 213-220, 2008.
 11. Zhou L. and Mitomo H., Adsorption of Heavy Metal Ions from Aqueous Solution onto Chitosan Entrapped CM-Cellulose Hydrogels Synthesized by Irradiation, *J. Appl. Polym. Sci.*, **110**, 1388-1395, 2008.
 12. Haraguchi, K., Li H.J., Matsuda K., Takehisa T., and Elliott E., Mechanism of Forming Organic/Inorganic Network Structures during In Situ Free-Radical Polymerization in PNIPA-Clay Nanocomposite Hydrogels, *Macromolecules*, **38**, 3482-3490, 2005.
 13. Zhang L., Zhou Y.J., and Wang Y., Novel Hydrogel Composite for the Removal of Water-Soluble Cationic Dye, *J. Chem. Tech. Biotechnol.*, **81**, 799-804, 2006.
 14. Kasgos H. and Durmus A., Dye Removal by a Novel Hydrogel-Clay Nanocomposite with Enhanced Swelling Properties, *Polym. Adv. Technol.*, **19**, 838-845, 2008.
 15. Kaplan M. and Kasgoz H., Hydrogel Nanocomposite Sorbents for Removal of Basic Dyes, *Polym. Bull.*, **67**, 1153-1168, 2011.
 16. Li P., Siddaramaiah. Kim N.H., Yoo G.H., and Lee J.H., Poly(acrylamide/laponite) Nanocomposite Hydrogels: Swelling and Cationic Dye Adsorption Properties, *J. Appl. Polym. Sci.*, **111**, 1786-1798, 2009.
 17. Laponite Additives, <http://www.laponite.com>, available in 11 March 2012.
 18. Huang A.Y. and Berg J.C., High-Salt Stabilization of Laponite Clay Particles, *J. Colloid Interface Sci.*, **296**, 159-164, 2006.
 19. Can V., Abdurrahamanoglu S., and Okay O., Unusual Swelling Behaviour of Polymer-Clay Nanocomposite Hydrogels, *Polymer*, **48**, 5016-5023, 2007.
 20. Ren H., Zhu M., and Haraguchi K., Characteristic Swelling-Deswelling of Polymer/Clay Nanocomposite Gels, *Macromolecules*, **44**, 8516-8526, 2011.
 21. Xiong L., Zhu M., Hu X., Liu X., and Tong Z., Ultrahigh Deformability and Transparency of Hectorite Clay Nanocomposite Hydrogels with Nimble pH Response, *Macromolecules*, **42**, 3811-3817, 2009.
 22. Haraguchi K. and Takehisa T., Nanocomposite Hydrogels: A Unique Organic-Inorganic Network Structure with Extraordinary Mechanical, Optical, and Swelling/Deswelling Properties, *Adv. Mater.*, **14**, 1120-1124, 2002.
 23. Li P., Siddaramaiah, Kim N.H., Heo S.B., and Lee J.H., Novel PAAm/Laponite Clay Nanocomposite Hydrogels with Improved Cationic Dye Adsorption Behavior, *Composite, Part B: Engineering.*, **39**, 756-763, 2008.
 24. Okay O. and Oppermann W., Polyacrylamide-Clay Nanocomposite Hydrogels: Rheological and Light Scattering Characterization, *Macromolecules*, **40**, 3378-3387, 2007.
 25. Crini G., Kinetic and Equilibrium Studies on the Removal of Cationic dyes from Aqueous Solution by Adsorption onto a Cyclodextrin Polymer, *Dyes and Pigments*, **77**, 415-426, 2008.
 26. Nandi B.K., Goswami A., and Purkait M.K., Removal of Cationic Dyes from Aqueous Solutions by Kaolin: Kinetic and Equilibrium Studies, *Appl. Clay Sci.*, **42**, 583-590, 2009.
 27. Li S., Removal of Crystal Violet from Aqueous Solution by Sorption into Semi-interpenetrated Networks Hydrogels Constituted of Poly(acrylic acid-acrylamide-methacrylate) and Amylose, *Bioresource Technol.*, **101**, 2197-2202, 2010.